

Московский авиационный институт
(Национальный исследовательский университет)

Институт: «Информационные технологии и прикладная математика»

Кафедра: 805 «Математическая кибернетика»

Дисциплина: «Численные методы»

Лабораторная работа №2

Тема: Решение начально-краевой задачи для дифференциального
уравнения гиперболического типа

Студент:	Хахин Максим
Группа:	80-403
Преподаватель:	Иванов И. Э.
Дата:	
Оценка:	

1. Задание:

Используя явную схему крест и неявную схему, решить начально-краевую задачу для дифференциального уравнения гиперболического типа. Аппроксимацию второго начального условия произвести с первым и со вторым порядком. Осуществить реализацию трех вариантов аппроксимации граничных условий, содержащих производные: двухточечная аппроксимация с первым порядком, трехточечная аппроксимация со вторым порядком, двухточечная аппроксимация со вторым порядком. В различные моменты времени вычислить погрешность численного решения путем сравнения результатов с приведенным в задании аналитическим решением. Исследовать зависимость погрешности от сеточных параметров.

2. Вариант 9:

9.

$$\frac{\partial^2 u}{\partial t^2} + 3 \frac{\partial u}{\partial t} = \frac{\partial^2 u}{\partial x^2} + \frac{\partial u}{\partial x} - u + \sin x \exp(-t),$$

$$u(0, t) = \exp(-t),$$

$$u(\pi, t) = -\exp(-t),$$

$$u(x, 0) = \cos x,$$

$$u_t(x, 0) = -\cos x.$$

$$\text{Аналитическое решение: } U(x, t) = \exp(-t) \cos x.$$

3. Теория:

Разложение ДУ в ряд.

Дифференциальное уравнение с частными производными параболического типа в общем виде записывается следующим образом:

$$\frac{\delta^2 u}{\delta t^2} + d \frac{\delta u}{\delta t} = a \frac{\delta^2 u}{\delta x^2} + b \frac{\delta u}{\delta x} + cu + f(x, t)$$

(а) Для явной разностной схемы.

Воспользуемся методами численного дифференцирования и разложим каждый член уравнения имеющий производную в конечную сумму:

- $\frac{\delta^2 u}{\delta t^2} = \frac{u_i^{k-1} - 2u_i^k + u_i^{k+1}}{\tau^2}$, где τ - шаг по временной сетке;
- $d \frac{\delta u}{\delta t} = d \frac{u_i^{k+1} - u_i^{k-1}}{2\tau}$
- $a \frac{\delta^2 u}{\delta x^2} = a \frac{u_{i-1}^k - 2u_i^k + u_{i+1}^k}{h^2}$, где h - шаг по пространственной сетке;
- $b \frac{\delta u}{\delta x} = b \frac{u_{i+1}^k - u_{i-1}^k}{2h}$;
- $cu = cu_i^k$;

Перепишем исходное уравнение:

$$\frac{u_i^{k-1} - 2u_i^k + u_i^{k+1}}{\tau^2} + d \frac{u_i^{k+1} - u_i^{k-1}}{2\tau} = a \frac{u_{i-1}^k - 2u_i^k + u_{i+1}^k}{h^2} + b \frac{u_{i+1}^k - u_{i-1}^k}{2h} + cu_i^k + f(x, t).$$

Сгруппируем коэффициенты при u с одинаковыми индексами:

$$u_i^{k+1} \left(\frac{1}{\tau^2} + \frac{d}{2\tau} \right) = \left(\frac{a}{h^2} - \frac{b}{2h} \right) u_{i-1}^k + \left(c + \frac{2}{\tau^2} - \frac{2a}{h^2} \right) u_i^k + \left(\frac{a}{h^2} + \frac{b}{2h} \right) u_{i+1}^k + f(x, t).$$

Непосредственно из этого уравнения находится значение функции на временном уровне $k+1$.

(b) Для не явной разностной схемы.

Воспользуемся методами численного дифференцирования и разложим каждый член уравнения имеющий производную в конечную сумму:

- $\frac{\delta^2 u}{\delta t^2} = \frac{u_i^{k-1} - 2u_i^k + u_i^{k+1}}{\tau^2}$, где τ - шаг по временной сетке;
- $d \frac{\delta u}{\delta t} = d \frac{u_i^{k+1} - u_i^{k-1}}{2\tau}$
- $a \frac{\delta^2 u}{\delta x^2} = a \frac{u_{i-1}^{k+1} - 2u_i^{k+1} + u_{i+1}^{k+1}}{h^2}$, где h - шаг по пространственной сетке;
- $b \frac{\delta u}{\delta x} = b \frac{u_{i+1}^{k+1} - u_{i-1}^{k+1}}{2h}$;
- $cu = cu_i^{k+1}$;

Перепишем исходное уравнение:

$$\frac{u_i^{k-1} - 2u_i^k + u_i^{k+1}}{\tau^2} + d \frac{u_i^{k+1} - u_i^{k-1}}{2\tau} = a \frac{u_{i-1}^{k+1} - 2u_i^{k+1} + u_{i+1}^{k+1}}{h^2} + b \frac{u_{i+1}^{k+1} - u_{i-1}^{k+1}}{2h} + cu_i^{k+1} + f(x, t).$$

Сгруппируем коэффициенты при u с одинаковыми индексами:

$$u_i^{k-1} \left(\frac{1}{\tau^2} - \frac{d}{2\tau} \right) - \frac{2u_i^k}{\tau^2} - f(x, t) = \left(\frac{a}{h^2} - \frac{b}{2h} \right) u_{i-1}^{k+1} + \left(c - \frac{2a}{h^2} - \frac{d}{2\tau} - \frac{1}{\tau^2} \right) u_i^{k+1} - \left(\frac{a}{h^2} + \frac{b}{2h} \right) u_{i+1}^{k+1}.$$

Для нахождения значений функции u на уровне $k+1$ необходимо решить систему уравнений:

$$\begin{cases} i = 1; \dots \\ i = 2, N-1; \quad Au_{i-1}^{k+1} + Bu_i^{k+1} + Cu_{i+1}^{k+1} = d_i \\ i = N; \dots \end{cases}$$

где $A = \left(\frac{a}{h^2} - \frac{b}{2h} \right)$, $B = \left(c - \frac{2a}{h^2} - \frac{d}{2\tau} - \frac{1}{\tau^2} \right)$, $C = \left(\frac{a}{h^2} + \frac{b}{2h} \right)$, $d = u_i^{k-1} \left(\frac{1}{\tau^2} - \frac{d}{2\tau} \right) - \frac{2u_i^k}{\tau^2} - f(x, t)$.
Формирование уравнений при $i=1$ и $i=N$ рассмотрим в разделе посвященном краевые условия.

Примечание. Во всех формулах приведенных выше рассматривается $i \in [2, N-1]$, где N - количество узлов в сетке по координате x .

Первый и второй временные слои.

Исходя из формул приведенных выше становится очевидно, что необходимо знать значение функции на временных уровнях $k - 1$ и k .

Для вычисления временного уровня 0 воспользуемся начальным условием $\psi_0(x)$:

$$u_i^0 = \psi_0(ih), \text{ где } h - \text{ шаг по координате } x, \ i \in [0; N).$$

Для вычисления временного уровня 1 необходимо использовать условием $\psi_1(x)$. Поскольку это условие содержит производную воспользуемся аппроксимацией:

- По 2 точкам с 1 порядком.

$$\frac{u_i^1 - u_i^0}{\tau} = \psi_1(ih)$$

$$u_i^1 = u_i^0 + \psi_1(ih)\tau = \psi_0(ih) + \psi_1(ih)\tau$$

- По 2 точкам с 2 порядком.

Разложим в ряд Тейлора:

$$u_i^1 = u_i^0 + \left. \frac{\delta u}{\delta t} \right|_i^0 \tau + \left. \frac{\delta^2 u}{\delta t^2} \right|_i^0 \frac{\tau^2}{2}.$$

Из исходного уравнения известно, что $\frac{\delta^2 u}{\delta t^2} = a \frac{\delta^2 u}{\delta x^2} + b \frac{\delta u}{\delta x} + cu + f(x, t) - d \frac{\delta u}{\delta t}$. Подставим:

$$u_i^1 = u_i^0 + \left. \frac{\delta u}{\delta t} \right|_i^0 \tau + \left(a \frac{\delta^2 u}{\delta x^2} + b \frac{\delta u}{\delta x} + cu + f(x, t) - d \frac{\delta u}{\delta t} \right) \Big|_i^0 \frac{\tau^2}{2}.$$

Подставим граничные условия:

$$u_i^1 = \psi_0(ih) + \psi_1(ih)\tau + \left(a\ddot{\psi}_0(ih) + b\dot{\psi}_0(ih) + c\psi_0(ih) + f(x, t) - d\dot{\psi}_1(ih) \right) \frac{\tau^2}{2}.$$

Сгруппируем:

$$u_i^1 = \psi_0(ih) + \psi_1(ih)(\tau - d\frac{\tau^2}{2}) + \left(a\ddot{\psi}_0(ih) + b\dot{\psi}_0(ih) + c\psi_0(ih) + f(x, t) \right) \frac{\tau^2}{2}.$$

Краевые условия.

Краевые условия могут принимать вид:

- (а) Условия первого рода:

$$\begin{cases} \beta u(0, x) = \phi_l(t) \\ \delta u(l, x) = \phi_r(t) \end{cases}$$

В таком случае u_1^{k+1} и u_N^{k+1} находятся по формуле:

- Для явной разностной схемы
 $u_1^{k+1} = \frac{\phi_l(t)}{\beta}, u_N^{k+1} = \frac{\phi_r(t)}{\delta}.$
- Для не явной разностной схемы

$$\begin{cases} i = 1; & \beta u_1^{k+1} + 0u_2^{k+1} = \phi_l(t) \\ i = 2, N-1; & Au_{i-1}^{k+1} + Bu_i^{k+1} + Cu_{i+1}^{k+1} = d_i \\ i = N; & 0u_{N-1}^{k+1} + \delta u_N^{k+1} = \phi_r(t) \end{cases},$$

(b) Условия второго рода:

$$\begin{cases} \frac{\delta u}{\delta x}(0, x) = \frac{\phi_l(t)}{\alpha} \\ \frac{\delta u}{\delta x}(l, x) = \frac{\phi_r(t)}{\gamma} \end{cases} \Leftrightarrow \begin{cases} \frac{u_2^{k+1} - u_1^{k+1}}{h}(0, x) = \frac{\phi_l(t)}{\alpha} \\ \frac{u_N^{k+1} - u_{N-1}^{k+1}}{h}(l, x) = \frac{\phi_r(t)}{\gamma} \end{cases}$$

В таком случае u_1^{k+1} и u_N^{k+1} находятся по формуле:

- Для явной разностной схемы
 $u_1^{k+1} = u_2^{k+1} - h \frac{\phi_l(t)}{\alpha}, u_N^{k+1} = u_{N-1}^{k+1} + h \frac{\phi_r(t)}{\gamma}.$
- Для не явной разностной схемы

$$\begin{cases} i = 1; & -\frac{\alpha}{h}u_1^{k+1} + \frac{\alpha}{h}u_2^{k+1} = \phi_l(t) \\ i = \overline{2, N-1}; & Au_{i-1}^{k+1} + Bu_i^{k+1} + Cu_{i+1}^{k+1} = d_i \\ i = N; & -\frac{\gamma}{h}u_{N-1}^{k+1} + \frac{\gamma}{h}u_N^{k+1} = \phi_r(t) \end{cases},$$

(c) Условия третьего рода:

$$\begin{cases} \alpha \frac{\delta u}{\delta x}(0, x) + \beta u(0, x) = \phi_l(t) \\ \gamma \frac{\delta u}{\delta x}(l, x) + \delta u(l, x) = \phi_r(t) \end{cases} \Leftrightarrow \begin{cases} \alpha \frac{u_2^{k+1} - u_1^{k+1}}{h}(0, x) + \beta u_1^{k+1} = \phi_l(t) \\ \gamma \frac{u_N^{k+1} - u_{N-1}^{k+1}}{h}(l, x) + \delta u_N^{k+1} = \phi_r(t) \end{cases}$$

В таком случае u_1^{k+1} и u_N^{k+1} находятся по формуле:

- Для явной разностной схемы
 $u_1^{k+1} = \frac{\phi_l(t) - \frac{\alpha}{h}u_2^{k+1}}{\beta - \frac{\alpha}{h}}, u_N^{k+1} = \frac{\phi_r(t) + \frac{\gamma}{h}u_{N-1}^{k+1}}{\delta + \frac{\gamma}{h}}.$
- Для не явной разностной схемы

$$\begin{cases} i = 1; & (\beta - \frac{\alpha}{h})u_1^{k+1} + \frac{\alpha}{h}u_2^{k+1} = \phi_l(t) \\ i = \overline{2, N-1}; & Au_{i-1}^{k+1} + Bu_i^{k+1} + Cu_{i+1}^{k+1} = d_i \\ i = N; & -\frac{\gamma}{h}u_{N-1}^{k+1} + (\delta + \frac{\gamma}{h})u_N^{k+1} = \phi_r(t) \end{cases},$$

Теперь рассмотрим аппроксимацию с вторым порядком точности. Поскольку условия первого рода не требуют аппроксимации, а условия второго рода являются частным случаем условий третьего рода, будем рассматривать случай краевых условий третьего рода.

(a) По 3 точкам.

$$\begin{cases} \alpha \frac{\delta u}{\delta x}(0, x) + \beta u(0, x) = \phi_l(t) \\ \gamma \frac{\delta u}{\delta x}(l, x) + \delta u(l, x) = \phi_r(t) \end{cases} \Leftrightarrow \begin{cases} \alpha \frac{-3u_1^{k+1} + 4u_2^{k+1} - u_3^{k+1}}{2h}(0, x) + \beta u_1^{k+1} = \phi_l(t) \\ \gamma \frac{u_{N-3}^{k+1} - 4u_{N-2}^{k+1} + 3u_N^{k+1}}{2h}(l, x) + \delta u_N^{k+1} = \phi_r(t) \end{cases}$$

- Для явной разностной схемы
 $u_1^{k+1} = \frac{2h\phi_l(t) + \alpha u_3^{k+1} - 4\alpha u_2^{k+1}}{2h\beta - 3\alpha}, u_N^{k+1} = \frac{2h\phi_r(t) + 4\gamma u_{N-1}^{k+1} - \gamma u_{N-2}^{k+1}}{2h\delta + 3\gamma}.$
- Для не явной разностной схемы

$$\begin{cases} i = 1; & (\beta - \frac{3\alpha}{2h})u_1^{k+1} + \frac{2\alpha}{h}u_2^{k+1} - \frac{\alpha}{2h}u_3^{k+1} = \phi_l(t) \\ i = \overline{2, N-1}; & Au_{i-1}^{k+1} + Bu_i^{k+1} + Cu_{i+1}^{k+1} = d_i \\ i = N; & (\delta + \frac{\gamma}{2h})u_{N-3}^{k+1} + \frac{4\gamma}{2h}u_{N-1}^{k+1} - \frac{\alpha}{2h}u_3^{k+1} = \phi_r(t) \end{cases},$$

(b) По 2 точкам.

$$\begin{cases} \alpha \frac{\delta u}{\delta x}(0, x) = \alpha \left(u_1^{k+1} + \frac{\delta u}{\delta x} \Big|_1^{k+1} h + \frac{\delta^2 u}{\delta x^2} \Big|_1^{k+1} \frac{h^2}{2} \right) \\ \gamma \frac{\delta u}{\delta x}(l, x) = \gamma \left(u_N^{k+1} + \frac{\delta u}{\delta x} \Big|_N^{k+1} h + \frac{\delta^2 u}{\delta x^2} \Big|_N^{k+1} \frac{h^2}{2} \right) \end{cases}$$

Вычислим все неизвестные компоненты:

$$\frac{\delta^2 u}{\delta x^2} \Big|_0^{k+1} = \frac{b}{a} \frac{\delta u}{\delta x} - \frac{1}{a} \frac{\delta^2 u}{\delta t^2} - \frac{d}{a} \frac{\delta u}{\delta t} + \frac{c}{a} u + \frac{1}{a} f(x, t)$$

$$\frac{\delta u}{\delta x} \Big|_0^{k+1} = \frac{u_2^{k+1} - u_1^{k+1}}{h}$$

$$\frac{\delta^2 u}{\delta t^2} = \frac{u_1^{k-1} - 2u_1^k + u_1^{k+1}}{\tau^2}$$

$$\frac{\delta u}{\delta t} = \frac{u_1^{k+1} - u_1^{k-1}}{2\tau}$$

сделаем подстановку:

$$\begin{cases} \alpha \frac{\delta u}{\delta x}(0, x) = \alpha \left(u_1^{k+1} + \left(\frac{b}{a} \frac{u_2^{k+1} - u_1^{k+1}}{h} - \frac{1}{a} \frac{u_1^{k-1} - 2u_1^k + u_1^{k+1}}{\tau^2} - \frac{d}{a} \frac{u_1^{k+1} - u_1^{k-1}}{2\tau} + \frac{c}{a} u_1^{k+1} + \frac{1}{a} f(x, t) \right) \frac{h^2}{2} \right) \\ \gamma \frac{\delta u}{\delta x}(l, x) = \gamma \left(2u_N^{k+1} - u_{N-1}^{k+1} + \left(\frac{b}{a} \frac{u_N^{k+1} - u_{N-1}^{k+1}}{h} - \frac{1}{a} \frac{u_N^{k-1} - 2u_N^k + u_N^{k+1}}{\tau^2} - \frac{d}{a} \frac{u_N^{k+1} - u_N^{k-1}}{2\tau} + \frac{c}{a} u_N^{k+1} + \frac{1}{a} f(x, t) \right) \frac{h^2}{2} \right) \end{cases}$$

сгруппируем:

$$\begin{cases} \alpha \frac{\delta u}{\delta x}(0, x) = \alpha \left(u_1^{k+1} \left[\frac{ch^2}{2a} - \frac{h^2}{2a\tau^2} - \frac{dh^2}{4a\tau} - \frac{bh}{2a} \right] - u_1^{k-1} \left[\frac{h^2}{2a\tau^2} + \frac{dh^2}{4a\tau} \right] + u_1^k \frac{h^2}{a\tau^2} + u_2^{k+1} \left[1 + \frac{bh}{2a} \right] + f(x, t) \frac{h^2}{2a} \right) \\ \gamma \frac{\delta u}{\delta x}(l, x) = \gamma \left(u_N^{k+1} \left[2 + \frac{bh}{2a} - \frac{h^2}{2a\tau^2} - \frac{dh^2}{4a\tau} + \frac{ch^2}{2a} \right] + u_N^{k-1} \left[\frac{dh^2}{4a\tau} - \frac{h^2}{2a\tau^2} \right] + u_N^k \frac{h^2}{a\tau^2} - u_{N-1}^{k+1} \left[1 + \frac{bh}{2a} \right] + f(x, t) \frac{h^2}{2a} \right) \end{cases}$$

Для краткости введем обозначения:

$$m_0 = \frac{ch^2}{2a} - \frac{h^2}{2a\tau^2} - \frac{dh^2}{4a\tau} - \frac{bh}{2a}; \quad z_0 = -\frac{h^2}{2a\tau^2} - \frac{dh^2}{4a\tau}; \quad s_0 = 1 + \frac{bh}{2a}; \\ m_l = 2 + \frac{bh}{2a} - \frac{h^2}{2a\tau^2} - \frac{dh^2}{4a\tau} + \frac{ch^2}{2a}; \quad z_l = \frac{dh^2}{4a\tau} - \frac{h^2}{2a\tau^2}; \quad s_l = 1 + \frac{bh}{2a};$$

$$\begin{cases} \alpha \left(u_1^{k+1} m_0 + u_1^{k-1} z_0 + u_1^k \frac{h^2}{a\tau^2} + u_2^{k+1} s_0 + f(x, t) \frac{h^2}{2a} \right) + \beta u_1^{k+1} = \phi_l(t) \\ \gamma \left(u_N^{k+1} m_l + u_N^{k-1} z_l + u_N^k \frac{h^2}{a\tau^2} - u_{N-1}^{k+1} s_l + f(x, t) \frac{h^2}{2a} \right) + \delta u_N^{k+1} = \phi_r(t) \end{cases}$$

- Для явной разностной схемы

$$\begin{aligned} u_1^{k+1}(\alpha m_0 + \beta) &= \phi_l(t) - \alpha \left(u_1^{k-1} z_0 + u_1^k \frac{h^2}{a\tau^2} + u_2^{k+1} s_0 + f(x, t) \frac{h^2}{2a} \right), \\ u_N^{k+1}(\gamma m_l + \delta) &= \phi_r(t) - \gamma \left(u_N^{k-1} z_l + u_N^k \frac{h^2}{a\tau^2} - u_{N-1}^{k+1} s_l + f(x, t) \frac{h^2}{2a} \right) \end{aligned}$$

- Для не явной разностной схемы

$$\begin{cases} i = 1; & u_1^{k+1}(\alpha m_0 + \beta) + \alpha u_2^{k+1} s_0 = \phi_l(t) - \alpha \left(u_1^{k-1} z_0 + u_1^k \frac{h^2}{a\tau^2} + f(x, t) \frac{h^2}{2a} \right) \\ i = \overline{2, N-1}; & Au_{i-1}^{k+1} + Bu_i^{k+1} + Cu_{i+1}^{k+1} = d_i \\ i = N; & u_N^{k+1}(\gamma m_l + \delta) - \gamma u_{N-1}^{k+1} s_l = \phi_r(t) - \gamma \left(u_N^{k-1} z_l + u_N^k \frac{h^2}{a\tau^2} + f(x, t) \frac{h^2}{2a} \right) \end{cases}$$

4. Код:

```

        \\Define the initial boundary conditions

double phi0(double x)
{
    return exp(-x);
}
double phil(double x)
{
    return -exp(-x);
}
double ksi0(double x)
{
    return sin(x);
}
double ksi0_der(double x)
{
    return cos(x);
}
double ksi0_der2(double x)
{
    return -sin(x);
}
double ksil(double x)
{
    return -sin(x);
}
double f(double x, double t)
{
    return -cos(x)*exp(-t);
}

        \\explicit_solwer

void explicit_solwer(int pr, int k, int N, double l, double T,
double *args1, double *args2, matrix *grid,
double(*f_args[6])(double), double(*f)(double, double))
{
    /*
    f_args[0] = phi0(t)
    f_args[1] = phil(t)
    f_args[2] = ksi0(x)
    f_args[3] = ksil(x)

```

```

f_args[4] = ksi0'(x)
f_args[5] = ksi0''(x)
*/
double tau = T/(k-1), h = 1/(N-1);
for(int i=0; i<N; i++)
    *get_element(grid, 0, i) = f_args[2](i*h);
switch (pr)
{
    for(int i=0; i<N; i++)
        *get_element(grid, 1, i) =
            f_args[2](i*h)+f_args[3](i*h)*tau;
    break;

    default:
    for(int i=0; i<N; i++)
        *get_element(grid, 1, i) = f_args[2](i*h) + f_args[3](i*h)*
            (tau-args1[3]*pow(tau,2)/2) + (args1[0]*f_args[5](i*h) +
            args1[1]*f_args[4](i*h) + args1[2]*f_args[2](i*h)+f(i*h, tau))*
            (pow(tau,2)/2);
    break;
}
for(int i=2; i<k; i++)
{
    for(int j=1; j<N-1; j++)
        *get_element(grid, i, j) = ( *get_element(grid, i-1, j-1)*
            (args1[0]/pow(h,2) - args1[1]/(2*h)) + *get_element(grid, i-1, j)
            *(args1[2] + 1/pow(tau,2) - 2*args1[0]/pow(h,2)) +
            *get_element(grid, i-1, j+1)*(args1[0]/pow(h,2) + args1[1]/(2*h))
            +f(j*h, i*tau) ) / (1/pow(tau,2) + args1[3]/(2*tau));
    switch (pr)
    {
        case 1:
            *get_element(grid, i, 0) = (f_args[0](i*tau) - args2[0]/h *
                (*get_element(grid, i, 1)))/(args2[1]-args2[0]/h);
            *get_element(grid, i, N-1) = (f_args[1](i*tau) - args2[2]/h *
                (*get_element(grid, i, N-2)))/(args2[3]+args2[2]/h);
            break;

        case 2:
            *get_element(grid, i, 0) = (2*h*f_args[0](i*tau) +
                *get_element(grid, i, 2)*args2[0] - *get_element(grid, i, 1)*
                4*args2[0])/(2*h*args2[1]-3*args2[0]);
            *get_element(grid, i, N-1) = (2*h*f_args[1](i*tau) +
                *get_element(grid, i, N-2)*4*args2[2] -
                *get_element(grid, i, N-3)*args2[2])/(3*args2[2]+2*h*args2[3]);
            break;
    }
}

```



```

        case 3:
            *get_element(grid, i, 0) = (f_args[0](i*tau) - args2[0]/h *
            (*get_element(grid, i, 1)))/(args2[1]-args2[0]/h);
            *get_element(grid, i, N-1) = (f_args[1](i*tau) - args2[2]/h *
            (*get_element(grid, i, N-2)))/(args2[3]+args2[2]/h);
            break;
        }
    }
}

```

\\implicit_solwer

```

void implicit_solwer(int pr, int k, int N, double l, double T,
double *args1, double *args2, matrix *grid,
double(*f_args[6])(double), double(*f)(double, double))
{
    /*
    f_args[0] = phi0(t)
    f_args[1] = phil(t)
    f_args[2] = ksi0(x)
    f_args[3] = ksil(x)
    f_args[4] = ksi0'(x)
    f_args[5] = ksi0''(x)
    */
    double tau = T/(k-1), h = l/(N-1);
    matrix system = create_matrix(N, N);
    matrix D = create_matrix(1,N);

    for(int i=0; i<N; i++)
        *get_element(grid, 0, i) = f_args[2](i*h);

    switch (pr)
    {
        case 1:
            for(int i=0; i<N; i++)
                *get_element(grid, 1, i) = f_args[2](i*h)+ f_args[3](i*h)*tau;
                printf("1");
            break;

        default:
            for(int i=0; i<N; i++)
                *get_element(grid, 1, i) = f_args[2](i*h) +
                f_args[3](i*h)*(tau-args1[3]*pow(tau,2)/2) +
                (args1[0]*f_args[5](i*h) + args1[1]*f_args[4](i*h) +
                args1[2]*f_args[2](i*h)+f(i*h, tau))*(pow(tau,2)/2);
            break;
    }
}

```

```

}

for (int i=1; i<N-1; i++)
{
    *_get_element(&system, i, i-1) = args1[0]/pow(h,2)-args1[1]/(2*h);
    *_get_element(&system, i, i) = args1[2]-2*args1[0]/pow(h,2)-
    args1[3]/(2*tau)-1/pow(tau,2);
    *_get_element(&system, i, i+1) = args1[0]/pow(h,2)+args1[1]/(2*h);
}
switch (pr)
{
case 1:
    *_get_element(&system, 0, 0) = args2[1] - args2[0] / h;
    *_get_element(&system, 0, 1) = args2[0] / h;
    *_get_element(&system, N-1, N-2) = - args2[2] / h;
    *_get_element(&system, N-1, N-1) = args2[3] + args2[2] / h;
    break;
case 2:
    *_get_element(&system, 0, 0) = args2[1] - 3*args2[0]/ h/ 2;
    *_get_element(&system, 0, 1) = 2 * args2[0]/h;
    *_get_element(&system, 0, 2) = - args2[0] / h /2;
    *_get_element(&system, N-1, N-3) = args2[2] / h /2;
    *_get_element(&system, N-1, N-2) = -2 * args2[2]/h;
    *_get_element(&system, N-1, N-1) = args2[3] + 3*args2[2]/ h/ 2;
    break;
case 3:
    *_get_element(&system, 0, 0) = args2[1] - args2[0] / h;
    *_get_element(&system, 0, 1) = args2[0] / h;
    *_get_element(&system, N-1, N-2) = - args2[2] / h;
    *_get_element(&system, N-1, N-1) = args2[3] + args2[2] / h;
    break;
}

for(int i=2; i<k; i++)
{
    for(int j=1; j<N-1; j++)
        *_get_element(&D, 0, j) = *_get_element(grid, i-2, j)*
        (1/pow(tau,2)-args1[3]/(2*tau)) - *_get_element(grid, i-1, j)*
        2/pow(tau,2) - f(j*h, i*tau);
    switch (pr)
    {
    case 1:
        *_get_element(&D, 0, 0) = f_args[0](i*tau);
        *_get_element(&D, 0, N-1) = f_args[1](i*tau);
        insert_matrix_line(grid, run_method(system, D, N), i);
        break;
    }
}

```

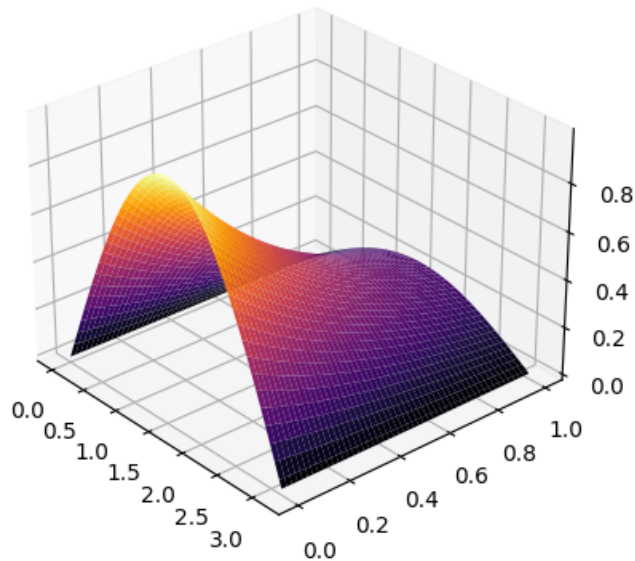
```

    case 2:
        *get_element(&D, 0, 0) = f_args[0](i*tau);
        *get_element(&D, 0, N-1) = f_args[1](i*tau);
        insert_matrix_line(grid, LU_method(system, D, N), i);
        break;
    case 3:
        *get_element(&D, 0, 0) = f_args[0](i*tau);
        *get_element(&D, 0, N-1) = f_args[1](i*tau);
        insert_matrix_line(grid, run_method(system, D, N), i);
        break;
    }
}

```

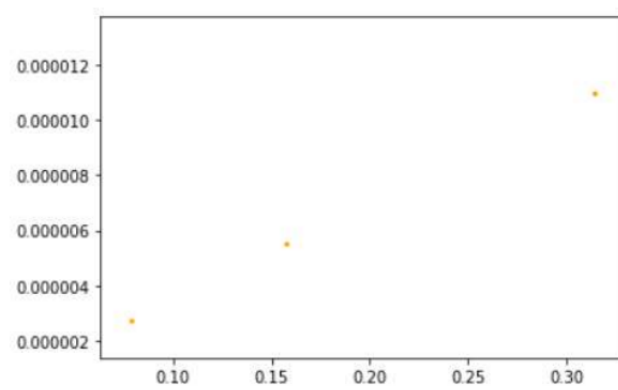
5. Результат:

Неявный метод:

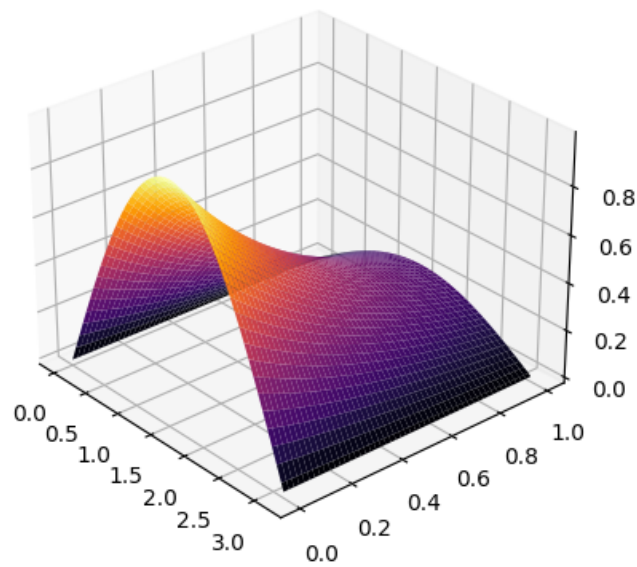


Изменение ошибки в зависимости от размера шага по пространству из

$$\frac{\pi}{100}, \frac{\pi}{1000} \text{ и } \frac{\pi}{10000} :$$

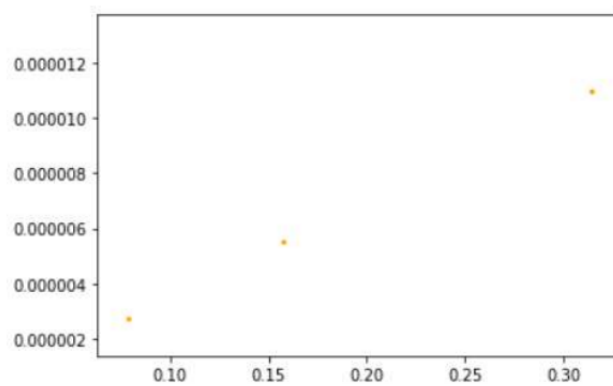


Явный метод:



Изменение ошибки в зависимости от размера шага по пространству из

$$\frac{\pi}{100}, \frac{\pi}{1000} \text{ и } \frac{\pi}{10000} :$$



6. Вывод:

Были реализованы два численных метода на Си для решения задачи гиперболического типа. Первый – Явный метод. Он использует в правой части значения только с предыдущего временного слоя, и получает явной выражения для решения на новом временном слое.

Второй – Неявный метод. Использует в правой части значения с текущего слоя, что приводит к решению СЛАУ с помощью метода прогонки.

Оба метода дали хорошую сходимость. Ошибка решений падает с уменьшением размеров шагов по времени и пространству.

Были построены графики решений и ошибок по сравнению с аналитическим решением.